

C - ØfH) = 0

M-350 - IV (vi, cur. no cm.) 1964

vi $(DCOOD)_2$; $(HCOOD)_2$; $(DCOOH)_2$;
 $(HCOOH)_2$; $(CD_3COOD)_2$; $(CH_3COOD)_2$; $(CD_3COOH)_2$;

Kishida S., Nakamoto K.

J.Chem.Phys., 1964, 41, N 6, 1558-63

Normal coordinate analyses of ...

J.

1965, 8 138

Cu H O₂

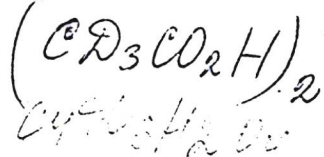
~~CD₃CD₂OD~~
~~CD₃CD₂OH~~

1965

M.B.

Microwave rotational spectrum of the $\text{CD}_3\text{CD}_2\text{OD}$ and $\text{CD}_3\text{CD}_2\text{OH}$ molecules. L. M. Imanov, Ch. O. Kadzhar, and I. Dzh. Isaev. *Opt. i Spektroskopiya* 18(5), 904-5 (1965) (Russ). The microwave spectrum of $\text{C}_2\text{D}_5\text{OD}$ was recorded in the range of $13.0 - 33.5 \times 10^3$ Mc. at -40° and $10^{-1} - 10^{-2}$ mm. Some lines were attributed to $\text{C}_2\text{D}_5\text{OH}$ which may be present in consequence of the action of the water present; this was proved by the addn. of H_2O which enhances the exchange reaction. A series of transitions of the P , Q , and R branches was identified. A semiempirical correction on the centrifugal distortion was used in the calcn. of the Q branch transitions. The rotational consts. A , B , and C , principal moments of inertia I_a , I_b , and I_c , the centrifugal distortion const. D , and the asymmetry parameter χ of $\text{C}_2\text{D}_5\text{OD}$ are 22,613.2, 7346.1, and 6448.8 Mc., 22.3555, 68.8160, and 78.3909 a.m.u., 3.97 kc., and -0.888982; the resp. values of $\text{C}_2\text{D}_5\text{OH}$ are 22,641.3, 7794.8, and 6792.8 Mc., 22.3278, 64.8549, and 74.4227 a.m.u., 3.93 kc., and -0.873544. P. Adamek

C.A. 1965. 63. 4
4490 9



(EXP-1009-14-IV)

1966

(Vi)

Carlson, G. L., et al.
Spectroscop. acta, 1963, 22,
N6, 1117-23

1867

СН ОН
25

1) 6 Д472. Микроволновой спектр изотопа этилового спирта C_2D_5OH . Culot J. P. Spectre micro-onde de l'isotope C_2D_5OH de l'alcool éthylique. «Bull. Belg. Phys. Soc.», 1967, № 4—5, 324—325 (франц.)

Интерпретированы переходы $J_{0, J} - J_{1, J-1}$ ветви b_Q изотопа этилового спирта C_2D_5OH , наблюдаемые в области 15 800—43 000 $M\text{гц}$.

Приписание подтверждено данными о штарковском эффекте. Отмечено, что изменение коэф. резонансного поглощения при взаимодействии двух близких вращательных частот создает дополнительные возможности для идентификации переходов.

В. П. Колобков

4. 1968. 69

С₂H₅OH
C₂D₅OH

XIV-2979

1967

14 Б226. Микроволновый спектр молекулы этилового спирта. Culot Jean-Pierre. Spectre microonde de la molécule d'alcool éthylique. «Ann. Soc. scient. Bruxelles», 1967, Sér. II, 81, № 3, 272—291 (франц.)

На спектрометре со штарковской модуляцией при т-ре —45° исследованы МВ-спектры молекул CD₃—CD₂—OH и CD₃—CD₂—OD в диапазоне 9—50 Ггц. Идентифицирован ряд линий, из частот которых определены значения вращательных постоянных $A = 22641,45$, $B = 7794,87$ и $C = 6792,75$ Мгц для CD₃—CD₂—OH и $A = 22613,45$, $B = 7346,40$ и $C = 6449,15$ Мгц для CD₃—CD₂—OD. Из этих значений а также из значений A , B , C для других изо-

X·1988

· 14

☒

топозамещенных этилового спирта методом Крайчмана найдены структурные параметры этой молекулы. Путем расчета с приближенным учетом поправок центробежного растяжения выполнена идентификация большого числа вращательных линий переходов между уровнями с большими значениями кв. чисел J и $K \pm 1$. По величине штарковского расщепления ряда линий определены компоненты дипольного момента.

М. Р. Алиев

$\text{CH}_3\text{CH}_2\text{OD}$ (D_i, мол. масс.) 1967
Чистов Л. Н., Каганер В. О., Часов И. Ю.
Микроволновой спектр изотопов
 $\text{CH}_3\text{CH}_2\text{OD}$ и $\text{CH}_3\text{CH}_2\text{O}^{18}$.

"Оптика и спектроскопия", 1967,
22, № 5, 837-838

$\text{CD}_3\text{CD}_2\text{OH}$

$\text{CD}_3\text{CD}_2\text{OD}$

(H. Horvath)

XIV-2979

1987

63349r Microwave spectrum of the ethyl alcohol molecule.
Sulot, Jean Pierre (Centre Phys. Nucl., Louvain, Belg.).
Ann. Soc. Sci. Bruxelles, Ser. 1 1967, 81(3), 272-91 (Fr). The spectrum of $\text{CD}_3\text{CD}_2\text{OH}$ and $\text{CD}_3\text{CD}_2\text{OD}$ was measured at 9-50 GHz. and room temp. The J.K.G. Watson formula (1966, 1967) was used to correct for centrifugal distortions. Many of the newly found transitions were due to a component of the dipole moment along the *b*-axis. These transitions correspond to a trans configuration, where the hydroxyl H atom is in the plane of symmetry of the mol. The use of a fictive model for the mol. allowed the theoretical calcns. of the rotational consts. 22 references.

H. Horvath

C.A. 1988.

69-16

$C_2D_4H_2O_2$

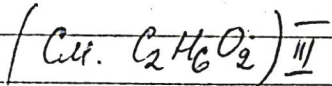
$KO(CD_2)_2OH$

Matsuura H.,
Miyazawa T.

1967

Bull. Chem. Soc. Japan,
40, N1, 85.

УК-секунд в сопровождении
некоторых гомологов и
всех гомомерных
изоцианатов



DO-(CH₂)₂-OD

KO(CD₂)₂OH



C₂H₄O₂D₂

γ_i

1967

109842q The vibrational spectrum of ethylene glycol. W. Sawodny, K. Niedenzu, and J. W. Dawson (Duke Univ., Durham, N. Car.). *Spectrochim. Acta, Part A* 23(4), 799-806(1967) (Eng). The ir and Raman spectra of liquid DO(CH₂)₂OD and HO(CD₂)₂OH were recorded and interpreted. As a result, an assignment of the vibrational spectrum of liquid ethylene glycol is proposed. The skeletal valence vibrations are observed at 864, 1041, and 1084 cm.⁻¹ The Raman spectrum and the ir spectrum in the 650-400-cm.⁻¹ range of liquid trimethylene glycol has also been recorded and is evaluated briefly. 21 references.

RCSQ

C.A. 1967.66.24

C-D(M)-0

1969

Чечетов И.Н. упр.

V₀,

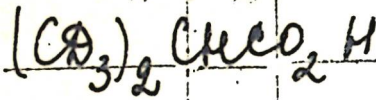
лв.спектр

Спектроскопия, Изд. СССР.
Сборн., 4th 1965 (Изд. 1969),
13-16. Редактор Глебре-
жевка Н.А., "Наука", М.



(C₂H₆O)₂

1970



82186 Synthesis and vibration spectrum of isobutyric acid
 $(CD_3)_2CHCO_2H$. Bellocq, Anne M.; Dubien, Monique; Belloc
Jacqueline; Dizabö, Pierre; Garrigou-Lagrange, Chantal (Cent
Rech. Paul Pascal, Talence, Fr.). *J. Chim. Phys. Physicochim.*
Biol. 1970, 67(4), 785-8 (Fr). Synthesis of isobutyric acid
 $(CD_3)_2CHCO_2H$ was realized and assignments were made for
obsd. frequencies by comparison with other isotopic species.
The CH group vibrations have been localized. RCQQ

C.A. 1970.73.16

C-D-H-O

1940

CD₃ CHO

Leucazeeae G.

CH₃ COO

Sandorffy C.

Ni,

Can. J. Chem.

1940, 28, 23, 3694

no стоян.

ангарской губ.

Кошмар

(Cu. CH₃CHO) III

1970

C-H-D-O

Timidei A., XIV-2268
Zerbi G.

Di,

Z. Naturforsch.,

aud. noctm.

A, 1970, 25, 11, 1429.

(Cu. Cl₃OK)III

WCOOH, HC₂O₄H, HCOOH/revue. cryscm.) 1972

Bellat J., Deldalle A. Samson C., Steen-
Beckeliers G., Wertheimer R.; ^{d.n.} ¹⁴
J. Mol. Struct., 1971, 9, N° 265- ^{XIV} 350

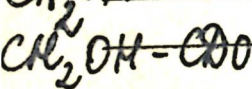
Etude du spectre de rotation de la
molécule d'acide formique. B.
Etude de quelques substitutions
isotopiques. Application à la dé-
terminaison de la structure de
la molécule. 5
PTEP 43, 1972, 3 D283 10 

C-D(H)-O

БР-XIV - 187c

1971

13 Б203. Микроволновые спектры дейтерированных гликольальдегидов. Marstokk K.-M., Mollenadal Nagald. Microwave spectra of deuterated glycolaldehydes. «J. Mol. Struct.», 1971, 7, № 1—2, 101—109 (англ.)



м.н.

вал.ср-μ

В области 12 300—26 000 $M\mu$ исследованы МВ-вращательные спектры молекул CH₂OD-CHO ($0 \leq J \leq 36$) (I), CH₂OH-CDO ($0 \leq J \leq 34$) (II), CHDOH-CHO ($0 \leq J \leq 35$) (III) и CHDOH-CDO ($0 \leq J \leq 5$) (IV). Определены вращательные постоянные $A = 17490,806 \pm 0,015$ (I), $17151,310 \pm 0,033$ (II), $16987,977 \pm 0,031$ (III), $15862,78 \pm 0,15$ (IV), $B = 6499,754 \pm 0,06$ (I), $6362,975 \pm 0,021$ (II), $6385,521 \pm 0,007$ (III), $6233,30 \pm 0,10$ (IV), $C = 4882,969 \pm 0,008$ (I), $4779,018 \pm 0,010$ (II), $4843,832 \pm 0,017$ (III), $4663,73 \pm 0,10$ $M\mu$ (IV), постоянные цент-

X. 1971. 13

робежного искажения (по Уотсону) $d_J = -23,83 \pm 0,61$ (I), $-23,4 \pm 1,8$ (II), $-29,9 \pm 1,3$ кгц (III), $d_{JK} = -65,04 \pm 0,48$ (I), $-54,79 \pm 0,66$ (II), $-58,35 \pm 0,80$ кгц (III), $d_K = 84,2 \pm 1,1$ (I), $61,4 \pm 1,3$ (II), $73,4 \pm 1,7$ кгц (III), $d_{WJ} \cdot 10^6 = 4,87 \pm 0,13$ (I), $5,28 \pm 0,43$ (II), $6,38 \pm 0,28$ (III), $d_{WK} \cdot 10^6 = -4,137 \pm 0,094$ (I), $-2,32 \pm 0,11$ (II), $-3,54 \pm 0,17$ (III). С помощью ур-ний Крейчмена и с использованием вращательных постоянных молекулы $\text{CH}_2\text{OH}-\text{CHO}$ — определены координаты атомов Н в молекулах гликольальдегида. Приведены структурные параметры гликольальдегида, вычисленные при принятых длинах связей $r(\text{C=O}) = 1,216$ и $r(\text{C-C}) = 1,501 - 0,005 \text{ \AA}$: $r(\text{C-O}) = 1,401 - 1,406$, $r(\text{OH}) = 1,071 - 1,097$, $r(\text{C-HbCH}_2\text{OH}) = 1,105 \pm 1,109$, $r(\text{C-HbCHO}) = 1,085 - 1,097 \text{ \AA}$, $\text{C-C-O} = 121,8 - 124,2^\circ$, $\text{O-C-C} = 113,2 - 114,4^\circ$, $\text{C-O-H} = 100,0 \pm 101,5^\circ$, C-C-H (в CH_2OH) = $108,4 - 108,7^\circ$, $\text{H-C-H} = 107,1 - 107,4^\circ$, C-C-H (в CHO) = $116,2 - 116,5^\circ$.

А. П. Александров

C-H-O

1971

DCO₂CH₃
HCO₂CD₃

Tionob E.M. 210p.

M. Супрун. Дарен,

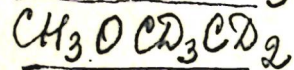
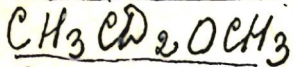
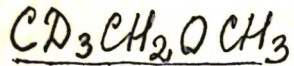
V_o,

- 1971, 12, 1, 61.

ав. 400

Pi

(C₂HCO₂CH₃)₁₄
C₂H₄O₂



Kitagamo, Teizo; Ohno, Keiichi;
Sugeta, Hiromu;
Miyazawa, Tatsuo.

1972

(V_i, V_o)

"Bull. Chem. Soc. Jap."

1972, 45, n4, 969-75.

● (cello H₅-OCH₃; III)

CH_3COOD .

1972.

~~C₂H₅COOD~~ Morita Hiroshi,
Nagakura Saburo.

(V₁)

"J. Mol. Spectrosc.",
1972, 42, n^o 3, 536-546.

(cet. HCOOH, III).

20522.6335 СИЗОИ; СИЗОВ; СДЗСН; СДЗОВ
Х1.1.1. (лр. пост.) XIV 023 365 1972.

Расчет постоянных центров изображения
молекул метилового спирта и его
димеров замещенных. Манукина И.Я.
Свердлов Л.М.

"Оптика и спектроскопия", 1972, 32,
№ 4, 823-844

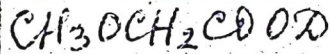
0625 ПИК

ВИНИТИ

00 613

40109.7318

Ch, Ph, TE



96615

1973

1549

Marstokk_K.-M., Mollendal Harald.

Microwave spectrum of methoxyacetic acid: assignment of the hydrogen-bonded rotamer.

"J.Mol.Struct.", 1973, 18, N 2, 247-256

(англ.)

0049

002 003

3012

ВИНИТИ

50203.4211

Ch, Ph, TC

76189 04

 CD_3COOH CH_3COOD
 CD_3COOD ,

1974

*4-8080

Foglizzo René, Novak Alexandre.

Spectres Raman des acides CH_3COOH ,
 CH_3COOD , CD_3COOH et CD_3COOD à l'état
polycristallin à 90°K.

"J.chim.phys.et phys.-chim.biol.",

1974, 71, N 10, 1322-1328

(франц., рез. англ.)

0292 ПИК

267 267 1284

ВИНИТИ

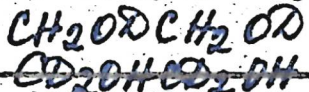
41015.6743

Ch, TC

49587

02

1974



2565

Ha_Tae-Kyu, Frei H., Meyer R., Günthard

Hs.H. Conformation of ethylene glycol: isometric group, ab initio stud. of internal H bonding and IR-matrix spectra of the species $\text{CH}_2\text{OHCH}_2\text{OH}$, $\text{CD}_2\text{OHCD}_2\text{OH}$ and $\text{CH}_2\text{ODCH}_2\text{OD}$. "Theor. chim. acta", 1974, 34, N 4, 277-292

(англ.)

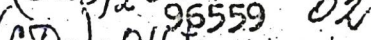
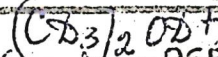
0212 пик

183 1850 2.04

ВИНИТИ

40923.6648

TC, Ph, Ch



Solka B.H., Harrison A.G. Bimolecular reactions of trapped ions. IX. Effect of method of preparation on the rate of reaction of $C_2H_5^+$. "Int. J. Mass. Spectrom. and Ion Phys.", 1974, 14, N 2, 125-138

(англ.)

0197 СУР

160 163 0129

ВИНИТИ

1974

CD₃CD₂OH

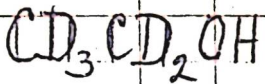
91887b Microwave rotational spectrum of an ethanol (CD₃CD₂OH) molecule in excited vibrational states. Kadzhnar, Ch. O.; Askerov, A. B.; Abbasov, A. A.; Imanov, L. M. (Inst. Fiz., Baku, USSR). *Izv. Akad. Nauk Az. SSR, Ser. Fiz.-Tekh. Mat. Nauk* 1974, (4), 58-60 (Russ). The deformation (CCO) and torsional (C-C) vibration frequencies of 265 and 186 cm⁻¹ resp., and the energy of an internal rotation barrier around the C-C bond of 3200 ± 160 cal/mol were detd. from the microwave rotational spectrum of CD₃CD₂OH in the ground and excited vibrational states.

C. A. Konak

U.S.
U.S. check

C.A. 1975. 82 n 14

1974



2 Д451. Микроволновый вращательный спектр молекулы $\text{CD}_3\text{CD}_2\text{OH}$ в возбужденных колебательных состояниях. Каджар Ч. О., Аскеров А. Б., Аббасов А. А., Иманов Л. М. «АзССР Елмлэр Акад. хәбәрләри. Физ.-тех. вә ријазијат елмләри сер., Изв. АН АзССР. Сер. физ.-техн. и мат. н.», 1974, № 4, 58—60 (рез. азерб. англ.)

0 i : 0

Исследованы микроволни. спектры молекулы $\text{CD}_3\text{CD}_2\text{OH}$ (I). Определена частота деформационных колебаний ССО (262 см^{-1}), которая оказалась близкой к соответствующей частоте молекулы $\text{CD}_3\text{CH}_2\text{OH}$ (II), равной 256 см^{-1} . Обнаружена еще одна серия линий возбужденного состояния, которую так же как и в II, отнесли к крутильным колебаниям вокруг связи С—С. Крутильная частота определена равной 186 см^{-1} , что близко к значению соответствующей частоты в II (184 см^{-1}). Высота потенц. барьера внутреннего вращения для I равна 3200 ± 160 кал/моль.

Ф. 1975. № 2

50124.7202
Ph,Ch,TC

C₃H₂D₄O₈ 02 1974
C₃H₄D₂O 02 14-7927

Wieser H., Danyluk M., Kydd R.A.,
Kiefer W., Bernstein H.J.

Vibrational spectra and ring puckering
progression in the C-H stretching
region of trimethylene oxide and several
deuterated analogs.

"J.Chem.Phys.", 1974, 61, N 11, 4380-4393

(англ.)

0288 0140

264 266

019290

ВИНИТИ

51013.9160

Ph, Ch, TC, DB

96615 (4.4)

1975

, MGU $CD_3CH_2OCN_3$

3405-

Hayashi Michiro, Kuwada Kazunori.Microwave spectrum, structure, dipole
moment and internal rotation of trans-
ethylmethylether. "J. Mol. Struct.",

1975, 28, N 1, 147-161

(англ.)

0467 пик

435 438

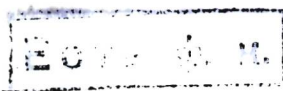
ВИНИТИ

Yi, C.S. et al. (CH_3OH , CD_3OH , $\text{C}\text{D}_3\text{OD}$,
 CH_2DOH , $\text{CH}_2\text{D}_2\text{OH}$, "y")

Mallinson P.D., XIV-7437 1975

J. Mol. Spectrosc., 1975, 58, v2, 194-200
(cont.)

The harmonic force field of methanol.



Barker, 1976, 145266

10

(90)

60225.9015

CH₃O₂COOH
95615

1976

Ch, TC, DB

CH -OCOOH

X 45-11486

Christiansen Ingrid, Marstokk K.-M.,
Møllendal Harald. Microwave spectra of
isotopic glyoxylic acids, structure
and intramolecular hydrogen bond.

"J. Mol. Struct.", 1976, 30, N 1, 137-
 144 (англ.).

0558 ПИК

544 544

550

ВИНТИ

70214.3652

Ch, Ph, TC

 CH_3COOOH
96200 CH_3COOH

1976

43-16661

Cugley J., Meyer R., Gunthard H.-H.
 Infrared spectra, force constants and
 thermodynamic functions of matrix isolat-
 ed peroxyacetic acid. "Chem. Phys.",
 1976, N 3-4, 281-292 (англ.)

0809 нмк

795 795

ВИНИТИ

$\text{Vi}(\frac{\text{HC}\text{OOCH}_3}{\text{DC}\text{OOCH}_3}, \frac{\text{HC}\text{OOCD}_3}{})$ XIV-7315 1976
48-11569

Harris W.C., Cole D.H., George W.O.
Spectrochim. acta, 1976, A32, N1,
1-10.

HDCOOCHDO

ЖУ-14145

1976

12 Д393. Микроволновый спектр и структура этиленозонида: роль вращения вокруг оси с наименьшим моментом инерции при вычислении структурных параметров. Kuczkowski Robert L., Gillies C. W., Gallagher K. L. Microwave spectrum and structure of ethylene ozonide: effects of large axes rotations in structure calculations. «J. Mol. Spectrosc.», 1976, 60, № 1—3, 361—372 (англ.)

М.Н.

В диапазоне 18—40 Гц исследованы микроволны спектры 14 изотопич. разновидностей молекулы этиленозонида (с D, ^{13}C и ^{18}O в различных положениях). Идентифицированы линии вращательных переходов с $J \leq 5$ в основном колебательном состоянии и определены значения вращательных постоянных. По значениям вращательных постоянных изотопзамещенных молекул

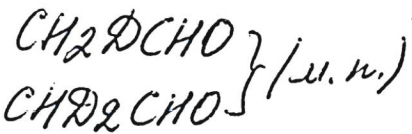
φ 1976 N 12

методом Крайчмана вычислены структурные r_s -параметры этиленозонида. Расчет выполнен при использовании вращательных постоянных 6 различных наборов изотопзамещенных. При этом получены сильно различающиеся значения для некоторых из параметров: наибольшее изменение от 1,458 до 1,502 Å получено для O_p-O_p -расстояния, которое интерпретировано взаимодействием колебаний с вращением вокруг a -оси с наименьшим моментом инерции. Выбран набор изотопзамещенных молекул, в котором отсутствует молекула с замещением вблизи a -оси, и для этого набора получены следующие r_s -параметры: $CO_e=1,416$, $CO_p=1,412$, $OO=1,461$ Å; $Co_eC=104,8^\circ$, $O_eCO=105,50^\circ$, $CO_pO_p=99,3^\circ$.

М. Р. Алиев

XIV-7851

1976



Turner P.H., Cox A.P.

Chem. Phys. Lett., 1976, 42, N1, 84-88

OPUS 7500

10

7543

CH₃-O-C₂D₃

7 Б199. Низкочастотные колебательные спектры, торсионные потенциальные функции метильной группы и потенциалы внутреннего вращения метилвинилового эфира и метил-*d*₃-винилового эфира. Durig J. R., Compton D. A. C. Low frequency vibrational spectra, methyl torsional potential functions, and internal rotational potential of methyl vinyl ether and methyl-*d*₃ vinyl ether. «J. Chem. Phys.», 1978, 69, № 5, 2028—2035 (англ.)

21/110

На фурье-спектрометре в области частот 480—80 см⁻¹ с разрешением 0,25 см⁻¹ и на КР-спектрометре в области частот 500—100 см⁻¹ с разрешением 3 см⁻¹ измерены колебательные спектры метилвинилового эфира (**I**) и метил-*d*₃-винилового эфира (**II**). Присутствие поляризованных линий КР вблизи 140 см⁻¹ в газовой фазе **I** и **II** указывает на то, что более высокоэнергетичным является гош-конформер. Расчет торсионной потенциальной функции для **II** показал, что гош-кон-

2.1949, 17

формеры обладают необычно большим торсионным углом 144° и низким барьером к интерконверсии 290 см^{-1} . Барьер между S-цис и гош-конформерами много выше и равен 2220 см^{-1} при переходе от S-цис к гош-конформеру и 1770 см^{-1} при переходе от гош к S-цис-конформеру. Барьеры внутреннего вращения метильной группы в гош-конформере много ниже, чем в S-цис-конформере, и равны для I и II соотв. 514 и 479 см^{-1} .

С. Н. Мурзин

$\text{HOOCOOH} (\nu_i)$ 1978
 $\text{HOOCOOH} (\bar{\nu}_i), \text{OOCOCOD} (\bar{\nu}_i)$

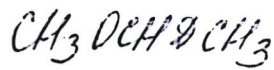
Redington R.L., Redington T.E.

J. mol. Struct., 1978, 48, n², 165-176 (a_{1g})

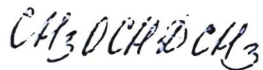
Infrared matrix-isolation spectra of monomeric oxalic acid.

XIV - 9152

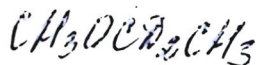
preced., 1978, 22 5 232 10 (9)



1978



Grimmholz et al.
et al.



J. Phys. and Chem.

"JF"

Ref. Data, 1978, 7(4)

Transl. by

(iv)

1323 - 1443

Molecular Yacovcevich theory.
Kedrov et al. Yerev 9

(ess. transl. by; (v))

СН₂ДСООН

1979

21 Б245. Равновесная конфигурация уксусной кислоты. Caminati W., Schappi F., Sogbelli G. Equilibrium configuration of acetic acid. «J. Mol. Spectrosc.», 1979, 75, № 2, 327—332 (англ.)

С целью определения равновесной конфигурации молекулы уксусной к-ты получены микроволновые спектры двух ее дейтеропр-ных CH_2DCOOH и CH_2DCOOD . Показано, что Ме группа ~~находится в «затенённой» конфигурации~~ по отношению к карбонильной группе. Вычислены постоянные центробежного искажения, свободные от внутренних вращательных эффектов. Получена структура для 4-х атомов водорода и частичная r_0 структура для всей молекулы.

Резюме

ж. 1979 № 21

CHO-O-CHO

CD₃O-O-CHO

CD₃O-O CD₃O.

Act. nov.

rb. act. facio

creat & matuse

Lommeca 8604 | 1979

Kühne H., et al.

Z. Mol. Spectrosc.

1979, 77, 251-69.

HCOOCH₃ commence 89:18 1979.
D²COOCH₃
DCOODD₃
(cent. rot.) Marmar E.B.; et al.
J. Mol. Spectrosc., 1979,
57, 189-200

DCCCHO

1980
9 Б261. Спектроскопия инфракрасного микроволнового двойного резонанса DCCCHO при использовании 3,51 мк He—Хе-лазера. Такаги М., Suzuki M. Infrared-microwave double resonance spectroscopy of DCCCHO using the 3.51 μm He—Xe laser. «J. Chem. Phys.», 1980, 72, № 7, 4089—4098 (англ.)

Методом ИК-МВ двойного резонанса измерен в области частот 0,001—80 ГГц МВ-спектр пропиналя- d_1 , DCCCHO, в возбужденном колебательном состоянии $v_2=1$. В кач-ве источника ИК-излучения использован 3,51 мк He—Хе-лазер с зеемановской перестройкой частоты в области около 0,1 см $^{-1}$. При идентификации переходов использованы результаты измерений ИК-спектра поглощения, штарковского ИК-спектра и ИК—МВ—РЧ тройного резонанса DCCCHO. Вращательные постоянные в основном и возбужденном $v_2=1$ колебательных состояниях, соотв., равны $A=66778,016$ и 66 811(302), $B=4463,8489$ и 4466(26), $C=4177,7950$ и 4178(26) МГц. Однако полученные данные не обеспечивают удовлетворительного согласия между измеренными и вычисленными частотами. Стандартное отклонение для частот МВ-переходов с учетом центробежного искажения составляет 321 МГц. Наряду с

4,11.

X. 1981 № 9

чисто вращательными переходами в состоянии $v_2=1$ наблюдались МВ-переходы из колебательного состояния $v_2=1$ в др. ближайшие колебательные состояния. Их интерпретация дана на основе модели квазикон-
тинуума колебательных состояний. С. Н. Мурзин

(I.
 $-N_2$)

1980

ДССНО

23 Б220. Миллиметровый спектр DCCCHO в основном колебательном состоянии. Takami M. Millimeter-wave spectrum of DCCCHO in the ground vibrational state. «J. Mol. Spectrosc.», 1980, 80, № 2, 301—306 (англ.)

Измерен в области частот 59—184 ГГц МВ-спектр пропиналя- d_1 , DCCCHO (I) в основном колебательном состоянии. Анализ спектра выполнен с использованием приведенного гамильтониана в представлении Уотсона с учетом квартичных и секстических постоянных центробежного искажения. При определении молекулярных постоянных I использованы известные МВ-данные и данные по ИК-МВ двойному резонансу. Вращательные постоянные в основном состоянии равны (в ГГц) $A = 66778,016(12)$, $B = 4463,8489(7)$, $C = 4177,7950(7)$, а постоянные центробежного искажения $\Delta_J = 0,0015919(5)$, $\Delta_{JK} = -0,139214(13)$, $\Delta_K = 9,4328(18)$, $\delta_J = 0,0002885(4)$, $\delta_K = 0,03069(4)$, $H_{JK} = -0,817(13) \cdot 10^{-6}$, $H_{JK} = -9,62(4) \cdot 10^{-6}$, $H_K = 0,00255(8)$, $h_I = 0,0047(3) \cdot 10^{-6}$. Установлено, что постоянная Δ_K для DCCCHO приблизительно на 5% превышает соответствующую постоянную для HCCCHO ($\Delta_K = 8,991$ ГГц). С. Н. Мурзин

4, II.

x. 1980
N 23

ДССНО

1980

і Д377. Вращательный спектр основного колебательного состояния молекулы DCCCHO в миллиметровом диапазоне. Millimeter-wave spectrum of DCCCHO in the ground vibrational state. Takami Michio. «J. Mol. Spectrosc.», 1980, 80, № 2, 301—306 (англ.)

В диапазоне миллиметровых волн исследован вращательный спектр молекулы DCCCHO. Идентифицированы линии вращательных переходов a - и b -типа с $F \leq 36$ в основном колебательном состоянии. Кроме того, идентифицированы линии 7 переходов основного состояния методом двойного ИК — МВ-резонанса с использованием Не — Хе-лазера с зеемановской перестройкой частоты. Обработка спектра выполнена с использованием приведенного вращательного гамильтониана Уотсона. Определены значения вращательных постоянных и постоянных квартичного и секстичного центробежного искажения.

М. Р. Алиев

Брауншт.
спектр

М.Н.

ф. 1981 д/1

$\text{CH}_3\text{CH}_2\text{CH}_2\text{OD}$

1981

95: 212253w Microwave spectrum of deuterated 1-propanol ($\text{CH}_3\text{CH}_2\text{CH}_2\text{OD}$). I. List of the absorption lines. Abdurakhmanov, A. A.; Ismailzade, G. I. (Inst. Fiz., Baku, USSR). *Izv. Akad. Nauk Az. SSR, Ser. Fiz.-Tekh. Mat. Nauk* 1981, 2(2), 91-6 (Russ). The microwave spectrum of $\text{CH}_3\text{CH}_2\text{CH}_2\text{OD}$ mol. was studied in the frequency range between 11.9 and 27.3 HHZ. The frequencies of about 600 transitions were measured and the intensity of absorption lines was estd., the Stark-shifts directions were detd. The series of Q_b-branch transitions were assigned.

(MB check)

C.A. 1981, 95, N 24

~~CH₃COOH~~

Lommelca 12040

1981.

CH₃COOH
"gr.", Van Eick B.P., et al.

M. B. Bruylants, J. Mol. Spectrosc., 1981,
20(1), p. 1.

M, II, 86 (2), 465-79.

D₂:

$\text{CH}_3\text{COOCO}_3$ [Omniuck 13964] 1982

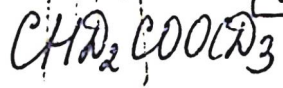
all near D.C., Tortola,

UK crown,
Di, un. nosd.

J. Mol. Struct., 1982,
81, N1-2, ST-60.

Ommuck 13964)

1982



UK creamy,
Di,
cen. no cm.

Mc Kean D.C., Torto I,
g. Mol. struct.,
1982, 81, N1-2, 51-60.

$H_2O - CO_2$

1984

Peterson K. I., Klein-
Cesajukmura, Peterer W.

Бюлл. Акад. наук ССР
1984, 80, № 6, 2439-
2445.

(см. $H_2O - CO_2$; III)

On. 23564

1985



Van Eijck B.P., Van Zoeren E,

NF Cremers,
(P₀) J. Mol. Spectrosc., 1985,
111, N¹, 138-163.

$(RCOOO)_2$ (Om. 26186) 1986

u gp.

Bertie J.E., Michaeli-
ar L.H., et al.,

(D)

J. Chem. Phys., 1986
85, N9, 4779 - 4789.

$\text{CH}_3\text{COCH}_2\text{D}$ (Om. 26268)

1986

Vacherand J.M., Van Eijck
B.P.

YB creeper,
et al.,

ν_0 , cryogeny-
pa $\text{J. Mol. Spectrosc.}$

1986, ● 120, N1, 118 -
126



1986

(Yf Crekme)

105: 199435k The rotational spectrum of acetone: deuterated species, internal rotation, and structure. Vacherand, J. M.; Van Eijck, B. P.; Burie, J.; Demaison, J. (Lab. Spectrosc. Hertzienne, Univ. Lille I, 59655 Villeneuve d'Ascq, Fr.). *J. Mol. Spectrosc.* 1986, 120(1), 118-26 (Eng). The microwave and millimeter-wave rotational spectra of $\text{CH}_3\text{COCH}_2\text{D}$, $\text{CD}_3\text{COCD}_2\text{H}$, and CD_3COCD_3 were measured. For these 3 isotopic species the rotational consts., the centrifugal distortion consts. and the 3 internal rotation parameters (barrier, Me top moment of inertia, and angle between the internal rotation axis and the a inertial axis) were accurately detd. using 2 computer programs based on the Internal Axis Method. The decrease of the potential barrier upon deuteration is evident. The substitution coordinates of the H atoms could also be detd. The in-plane Me H has a position *cis* with respect to the O atom.

C.A.1986, 105, N 22

$\text{HOCH}_2\text{CD}_2\text{CH}$

1987

8 Б1315. Микроволновый спектр $\text{HOCH}_2\text{CD}_2\text{OH}$ и
отнесение второй конформации с водородной связью
этиленгликоля. Microwave spectrum of $\text{HOCH}_2\text{CD}_2\text{OH}$,
and the assignment of a second hydrogen-bonded con-
formation of ethylene glycol. Kristiansen P.-E.,
Marstokk K.-M., Mollandal H. «Acta chem. Scand.», 1987,
A41, № 7, 403—414 (англ.)

На микроволновом (МВ) спектрометре в обл. частот 18,0—40,9 Гц с точностью 0,10 МГц измерены вращат. спектры двух гош-поворотных изомеров (ПИ) с внутримолек. Н-связью, gGa и gGg , этиленгликоля, $\text{HOCH}_2\text{CD}_2\text{CH}$, в основном колебат. состоянии и для ПИ gGa в первом возбужденном С—С торсионном состоянии. Для каждого ПИ наблюдалось по два МВ-спектра, при- надлежащих двум изотопомерам. Анализ МВ-спектров четырех изотопомеров двух ПИ выполнен в приближе- нии модели асимм. волчка с учетом квартичного цен-

и. п.

X. 1988, 19, N 8

тробежного искажения. Для всех образцов определены дипольные моменты. Впервые исследованный ПИ gGg на 1,4(4) кДж/моль менее стабилен, чем gGa . Определена возможная структура ПИ с двугранными углами O—C—C—O $53,64(40)^\circ$ для gGa и $53,94(24)^\circ$ для gGg .

С. Н. Мурзин

$\text{CD}_3\text{COOCH}_3$ (OM-30754) 1988

$\text{CH}_3\text{COOCD}_3$ Dybal J., Krimm S.,

Надеждин. J. Mol. Struct. 1988,
"рас." 189, 383-392.
Чемоданов

$H_2CO \cdot DCCD$ (OM. 29932) 1988

$H_2CO \cdot HCCH$ Howard N.W., Legon A.C.,

$D_2CD \cdot DCCH$

$D_2CD \cdot HCCH$

Brauman-

Clemm,

M.N.

J. Chem. Phys., 1988,
88, N 11, 6793-6800.

(OM-29938) 1988

$\text{CD}_3\text{COOC}_2\text{H}_5$
 $\text{CH}_3\text{COOC}_2\text{D}_5$
 $\text{CD}_3\text{COOC}_2\text{D}_5$

Miolo Y., Shiono H.
et al.,

Констант.
Срекун,
Норманда.
Констант.
и фракции.

J. Mol. Struct.,
1988,
176, 253 -
277

1988

Из СН₂ РДО

4 Л180. Микроволновый спектр и потенциальная функция пропаналя. The microwave spectrum and potential function of propanal / Randell J., Hardy J. A., Cox A. P. // J. Chem. Soc. Faraday Trans. Pt2.—1988.—84, № 8.—С. 1199—1212.—Англ.

Определена потенц. ф-ция для внутреннего вращения альдегидной группы в пропанале. Все известные данные МВ и дальнего ИК-диапазона включены в потенциал $V(\alpha) = 1/2 \sum V_n (1 - \cos n\alpha)$, где (в см⁻¹)

$V_1 = 251(2)$, $V_2 = 736(8)$, $V_3 = 550(4)$, $V_4 = -179(5)$ и $V_5 = -7(4)$. Для вращательных изомеров цис- и гош-пропаналя угол α равен 0° и 128,2° соответственно. Разность энергий между двумя стабильными конфигурациями молекулы определялась по измерению относит. интенсивностей в МВ-диапазоне и составила $\Delta W = 420(27)$ см⁻¹. По штарк-эффекту определено расщепление уровней вследствие внутреннего вращения для изотопов CH₃CH₂CH¹⁸O и CH₃CH₂CDO. Показано, что дипольный момент гош-пропаналя ориентирован внутри угла 0,6° относительно C=O связи, и величина его составляет 2.864(8) ед. Дебая. Б. С. Д.

11.1

окт 1989, № 4

CD₃CHO

1989

12 Л190. Ферми-резонансная структура в области обертонных СН-колебаний CD₃CHO. Fermi resonance structure in the CH vibrational overtones of CD₃CHO / Amgein A., Hollenstein H., Quack M., Zenobi R., Segall J., Zare R. N. // J. Chem. Phys.— 1989.— 90, № 8.— С. 3944—3951.— Англ.

С помощью фурье-спектрометра в интервале 700—17 500 см⁻¹ исследован ИК-спектр поглощения, обусловленный СН-валентными и -деформационными колебаниями CD₃CHO. Изучена колебательная структура последовательности обертонных резонансов, вызванных наличием резонанса Ферми между СН-валентной и СН-деформационной колебательными модами. В результате анализа наблюдаемых резонансных структур показано, что резонансное взаимодействие имеет место между СН-валентными и плоскими СН-деформационными колебаниями, а для неплоских СН-деформационных колебаний такое взаимодействие отсутствует. Определено значение постоянной резонансного взаимодействия $|k_{bbb}| = 93$ см⁻¹. Библ. 32.

В. К.

cb. 1989, N 12

M.N.

CD₃CHO

1989

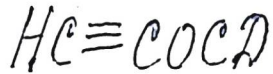
2Б1298. Ферми-резонансная структура полос обертонаов колебаний CH в CD₃CHO. Fermi resonance structure in the CH vibrational overtones of CD₃CHO / Amrein A., Hollenstein H., Quack M., Zenobi R., Segall J., Zare R. N. // J. Chem. Phys.— 1989.— 90, № 8.— С. 3944—3951.— Англ.

На ИК-фурье-спектрометре в обл. частот 700—11 000 см⁻¹ с разрешением 0,004 см⁻¹ и на лазерном спектрометре с фотоакустич. приемником в обл. частот 12 000—17 500 см⁻¹ измерены спектры основных полос и обертонов вал. кол. и CO 2,2,2-тридейтероацетальдегида, CD₃CHO, в газ. фазе. Впервые осуществлен полный анализ резонанса Ферми в спектрах обертонов между вал. кол.-CH и плоскими деф. кол. CH. Большая величина эффективного параметра ангармонизма 93 см⁻¹ соответствует времени переноса энергии между вал. и деф. CH-модами ~0,1 пс. Идентифицирован обертон вал. кол. CO вплоть до колебат. квантового числа ν = 4 и его комбинац. полосы с деф. кол. CH.

С. Н. Мурзин

X. 1990, № 2.

1989

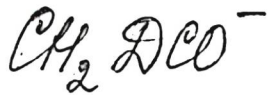


Измайлов И. С.,
Лазарев А. Н. и др.

№. 90413. Химии. 1989.

63, №. С. 642-651.

(Coll. $HC\equiv COCH_3$; III)



1989

Nimlos M. R.
Soderquist J.A. et al.
J. Amer. Chem. Soc.
1989. 111, N₂₀. C.
7675 $\bar{\circ}$ 7681.
(see. CH_3CO^- ; III)

CHD₂OH

1989

110: 124234p Microwave detection of direct gauche to trans transitions in methan-d₂-ol (CHD₂OH). Su, Chun Fu; Quade, C. Richard (Dep. Phys., Mississippi State Univ., Mississippi State, MS 39762 USA). *J. Chem. Phys.* 1989, 90(3), 1396-402 (Eng). A portion of the microwave torsional-rotational spectrum of CHD₂OH was assigned at 12.4-41.3 GHz. The detection and identification are given of direct gauche to trans transitions from both gauche states and gauche to gauche transitions. The energy level system has 3 substates in the torsional motion with a rotational manifold for each torsional substate. In terms of torsional substate, 10 Q-type and 3 R-type transitions were assigned for e₀(gauche) to e₁(trans). Addnl. lines were assigned within each torsional substate. Spectral anal. was made using a phenomenol. rotational Hamiltonian plus an internal axis torsion-rotation Hamiltonian in zeroth order. The approx. torsional energy level differences are gauche-gauche = 184.7 GHz, gauche(upper)-trans = 202.5 GHz, and gauche(lower)-trans = 387.2 GHz. Two sets of potential energy coeffs., one with pos. V₂ and the other with neg. V₂, were detd. that give essentially equiv. fit in the spectral anal.

(46 CREEKMP)

C.A. 1989, 110, N 14

$(CH_3OD)_2$ [Om. 34109] 1990

$(CH_3OH)(CH_3OD)$ La Crosse J.P., Lisy J.M.,

J. Phys. Chem. 1990,
94, 4398 - 4400

Vibrational
spectroscopy of

Predissociation
 $(CH_3OD)_2$ and

$(CH_3OH)(CH_3OD)$ in the 9.6 - μm
Region.

CH3DCH

Om 34941

1990

113, 11119j Assignment in methanol-d₁ of the far-infrared laser emission optically pumped by the 10P(46) carbon dioxide line and associated infrared spectrum. Mukhopadhyay, I.; Lees, R. M. (Dep. Phys., Univ. British Columbia, Vancouver, BC Can. V6T 2A6). *Infrared Phys.* 1990, 30(5), 443-7 (Eng). High-resoln. Fourier transform spectroscopy of the IR OCD bending mode of methanol-d₁ has led to the identification of the 374 μm far-IR (FIR) laser transition optically pumped by the 10P(46) CO₂ laser line in CH₃DCOH. The IR pump transition coincident with the 10P(46) line is assigned as the R(17), K = 4 transition of the $\sigma' = 0$ torsional species in the torsional ground state. The 374 μm FIR laser line is then assigned to the $J_K = 18_4 \rightarrow 17_4$ transition in the excited OCD-bend state. The assignment scheme is supported by combination relations among R, P and Q-branch IR transitions in the OCD-bending band. This is believed to be the first FIR laser line assignment for an asym.-deuterated methanol species, as well as the 1st reported high-resoln. study of the IR spectrum.

C.A. 1990, 113, N 16

CH3CH2OH [Om. 34759]

1990

~~GJG~~

Shaw R.A., Wieser H.,
et al.,

J. Amer. Chem. Soc., 1990,
112, N14, 5401-5410.

Vibrational Optical Acti-

Rity of (S)-1-d-Ethanol.

HC:CCDO

1991

114: 132185w Stark quantum beat spectroscopy of polyatomic molecules. Hack, E.; Bitto, H.; Huber, J. R. (Phys. Chem. Inst., Univ. Zurich, CH-8057 Zurich, Switz.). *Z. Phys. D: At., Mol. Clusters* 1991, 18(1), 33-44 (Eng). Anal. expressions were derived for Stark quantum beat signals of polyat. mols. and they are discussed with regard to mol. and geometrical parameters. The general treatment is specified for near prolate asym. rotor mols. and a method for detg. rotational consts. and all components of the dipole of electronically excited polyat. mols. is presented. The method was tested and illustrated for the vibrationless S_1 state of deuterated propynal (HC:CCDO , C₂ symmetry) and its lowest frequency nontotally sym. state 12^1 . The results of the vibrationless state are compared with structural data reported in the literature. For the 12^1 state, $A = 1.5004(43) \text{ cm}^{-1}$, $B = 0.16131(34) \text{ cm}^{-1}$, $C = 0.14623(34) \text{ cm}^{-1}$, and the components of the elec. dipole moment in the mol. plane $\mu_a = -0.88(2) \text{ D}$, $\mu_b = 1.03(2) \text{ D}$. The modulation depth of Stark quantum beat signals can be used to quantify the contribution of the individual components of the transition moment to the total emission.

M:N

c.A.1991, 114, N 14

$^{13}\text{CD}_3\text{OH}$

1991

115: 290056e FTIR spectroscopy and FIR laser assignments for methanol ($^{13}\text{CD}_3\text{OH}$). Xu, Li Hong; Lees, R. M.; Johns, J. W. C. (Phys. Dep., Univ. New Brunswick, Fredericton, NB Can. E3B 5A3). *Proc. SPIE-Int. Soc. Opt. Eng.* 1991, 1576(Conf. Dig. - Int. Conf. Infrared Millimeter Waves, 1991), 258-9 (Eng). Progress to date is discussed in the study of new IR spectral regions of $^{13}\text{CD}_3\text{OH}$, and the detn. of mol. consts. and FIR laser assignments.

U.C.-CREMPS,

M.N.

C.A. 1991, 115, 1126.

CH₂DOD

1991

- 115: 145339v The microwave torsional-rotational spectrum of methyl-d alcohol-d. Su, Chun Fu; Liu, Mujian; Quade, C. Richard (Dep. Phys., Mississippi State Univ., Mississippi State, MS 39762 USA). *J. Mol. Spectrosc.* 1991, 149(2), 435-40 (Eng). The microwave torsional-rotational spectrum of CH₂DOD was predicted, identified, assigned, and analyzed to det. the internal rotation potential energy coeffs. and selected nonrigidity corrections. Although trans to gauche transitions are too weak for observation in the torsional ground states, transitions have been obsd. between 3 excited torsional states as well as the usual gauche(+) to gauche(-) transitions for the torsional ground states. Taken together, these allow for the detn. of the potential energy coeffs. for CH₂DOD; $V_1 = 8.03 \pm 0.10 \text{ cm}^{-1}$, $V_2 = 2.73 \pm 0.10 \text{ cm}^{-1}$, and $V_3 = 364.72 \pm 0.25 \text{ cm}^{-1}$.

MS CREAMS

M.N.

c.a. 1991, 115; N 14



1992

118: 87930e Valence force field of propanal conformers by geometry relaxed ab initio and normal coordinate calculations. Gupta, V. P.; Ram, Basakhi; Vaish, Sangeeta (Dep. Phys., Univ. Jammu, Jammu Tawi, 180 001 India). *Indian J. Pure Appl. Phys.* 1992, 30(9), 452-6 (Eng). Valence force fields of *cis* and *gauche* conformers of propanal have been calcd. using the geometry relaxed extended basis 4-31G ab initio and GVFF normal coordinate calcns. Consistency of the force field has been verified by extending the normal coordinate calcns. to the *cis* conformers of $\text{CH}_3\text{CH}_2\text{CDO}$ and $\text{CH}_3\text{CD}_2\text{CHO}$. Using the isomer enrichment technique at low temps. all the absorption bands of the higher energy *gauche* conformer have been identified. A complete interpretation of the vibrational spectra of propanal and its mono- and di-deutero derivs. (*cis* conformers) and the *gauche* conformer has been provided. Scaling factors for the ab initio force field have been obtained.

C.A.1993, 118, N10

H₂COO

1992

Tao W., Klemm L.B. et al.,

Фотоисслед. J. Phys. Chem. 1992, 96 (1),
массспектр. 104-7
γ

(cell. H₂COO)
III)

CHCOOD

1994

Henderson D.O.,
Mu R. et al.

Uk creeps

b microscope, Proc. SPIE-Int.
Soc. Opt. Eng. 1994,
2138, 85-96.

(cet. HCOOH; II)

DCOOCH₃

1995

123: 126034r The millimeter- and submillimeter-wave spectrum of symmetric mono-deuterated methyl formate (DCOOCH₃). Oesterling, L. C.; Ferguson, D. W.; Herbst, Eric; De Lucia, Frank C. (Dep. Phys., The Ohio State Univ., Columbus, OH 43210 USA). *J. Mol. Spectrosc.* 1995, 172(2), 469-84 (Eng). The rotational-torsional spectrum of DCOOCH₃, the sym., singly deuterated isotopomer of Me formate, has been extended into the millimeter-wave and submillimeter-wave regions of the electromagnetic spectrum. A total of 885 lines belonging to the A and E torsional substates of the ground ($v_t = 0$) torsional state has been measured through rotational quantum no. J = 30 up to a frequency of 377 GHz. These lines have been added to 27 previously measured microwave lines and the combined data set was analyzed using a global internal axis method. A root-mean-square deviation of 85 kHz has been obtained by varying 31 rotation and internal rotation parameters. The newly measured spectra reported should be useful for interstellar searches for DCOOCH₃, which has yet to be detected unambiguously in interstellar clouds despite the existence of copious nos. of obsd. transitions for Me formate.

(UN ENCLP)

C.A. 1995, 123, N10

Lek. LDD [OM 38617]

1996

Tavladorakis L., Parkin Y.E.;
Plautz Specrochim. Acta 1996,
already Part A 52, N 14, 1823-27.

UK Rotational analysis
check of the pair D₇, D₁₁(a'd'')
D₇, D₁₁, n. of bands of

the infrared spectrum of
the deuterium substituted
propynal molecule $C_2H \cdot CDD$

C₂D₅OH

1997

130: 145551t Band structure nature of O-H stretching of liquid ethanol. Danchuk, V. D. (Ukr. Transp. Univ., Kiev, Ukraine). *Dopov. Nats. Akad. Nauk Ukr.* 1997, (10), 98-101 (Ukrain), Prezidiya Natsional'noi Akademii Nauk Ukraini. The Raman spectra of O-H vibrations of pure liq. C₂D₅OH and C₂D₅OH:C₂D₅OD mixt. are exptl. studied. Quantum-chem. calcns. of the vibrational spectra of model clusters of these liqs. were made by the AM1 method with optimization of the space structure. The model clusters are trans- and gauche-conformers of EtOH mol. The formation of the band of O-H vibrations is interpreted within the mechanisms of resonant dynamical intermol. interaction and conformational dynamics.

(CKP)

C. A. 1999, 130, N11

1999

F: CH2DOD

P: 3

131:329091 Torsional energies, matrix elements and predictions of microwa transitions in CH2DOD.

Mukhopadhyay, I.; Bhand, S. G.; Mishra, N. N.
Lase Programme, Centre for Advanced Technology
Indore, India Spectrochim. Acta Part A,
55A(12), 2485-2493 (English) 1999 The torsional-
rotational mol. parameters of asym. deuterated MeOH
(CH2DO were calcd. up to K = 15 in the torsional
vibrational ground state. Matr elements for
.DELTA.K=.-.1 transitions were calcd. up to the 4th
excited torsional state. Using previously obsd.

microwave (MW) transitions effec state dependent mol. parameters were evaluated for the states involved. parameters allow the predictions for unobserved microwave transitions to with a precision which should enable future lab. and astrophys. detection matrix elements and the torsional energies will be valuable in the assign of far-IR absorption spectra and optically pumped far-IR laser lines in the mol. isotopomer of MeOH.

The energy levels calcd. will form a useful dat to aid in the detection of this isotopic variant of MeOH in astrophys. so which might be of useful for the detn. of parameters like the D/H ratio i universe.

$(CH_3)_2CHOD$

2001

(No CNIKIP)

135: 202081u Internal Rotation of the Hydroxyl Group in Iso-propanol and the Chirality of the Gauche Form: Fourier Transform Microwave Spectroscopy of $(CH_3)_2CHOD$. Hirota, Eizi; Kawashima, Yoshiyuki (The Graduate University for Advanced Studies, Hayama, Kanagawa, Japan 240-0193). *J. Mol. Spectrosc.* 2001, 207(2), 243-253 (Eng), Academic Press. The rotational spectrum of the deuterated isopropanol $(CH_3)_2CHOD$ has been obsd. by Fourier transform microwave spectroscopy and analyzed to yield tunneling splitting of 4431.4613 (17) MHz, between the antisym. and the sym. gauche forms, which is much larger than the 2400 MHz estd. from the internal-rotation potential function reported in the literature. The potential function for the OH internal rotation has been examd. in view of the discrepancy between the obsd. and estd. tunneling splitting, and it was accounted for by taking into account isotope effects on the potential

C.A. 2001, 135, N914

consts. The deuterium quadrupole coupling effect has been included together with the Coriolis terms in the off-diagonal block of the Hamiltonian matrix for the gauche form. The deuterium quadrupole coupling consts. obtained for the trans form were employed to calc. the components of the coupling consts. as functions of the internal-rotation angle, and the components at around 120° were compared with the values obsd. for the gauche form, thereby leading to unambiguous detn. of the signs of the consts. in the off-diagonal block; the signs are not obtainable from an ordinary anal. of the rotational spectra. The chirality of the gauche form was discussed by placing special emphasis on the effect of intermol. interactions between two chiral mols. (c) 2001 Academic Press.